

УДК 531.36:534.1

# АНАЛИЗ РАЗРЫВНЫХ МОДЕЛЕЙ ФАЗОВОЙ АВТОПОДСТРОЙКИ

**Н.В. Кузнецов**

*Санкт-Петербургский государственный университет*  
Россия, 117997, Санкт-Петербург, Университетский пр., 28  
E-mail: nkuznetsov239@gmail.com

**М.Ю. Лобачев**

*Санкт-Петербургский государственный университет*  
Россия, 117997, Санкт-Петербург, Университетский пр., 28  
E-mail: mlobachev64@gmail.com

**Ключевые слова:** фазовая автоподстройка частоты, PLL, разрывная характеристика фазового детектора, полоса захвата, полоса быстрого захвата.

**Аннотация:** В данной работе в рамках теории систем дифференциальных уравнений с разрывной правой частью рассмотрена задача определения полос удержания, захвата и быстрого захвата для системы управления фазовой синхронизацией с пилообразной характеристикой фазового детектора. На примерах системы фазовой автоподстройки второго порядка с идеальным интегрирующим фильтром и схемы Костаса с квадратурной фазовой манипуляцией показаны трудности, возникающие при определении решения соответствующей математической модели в точках разрыва, и возможности аналитических методов анализа таких моделей.

## 1. Введение

Системы фазовой автоподстройки (ФАП) – нелинейные системы управления, широко используемые в спутниковой навигации [1], гироскопах [2, 3], беспроводной связи [4–6] и других приложениях [7–12]. Одной из основных задач ФАП является синхронизация выходного сигнала подстраиваемого генератора (ПГ) с входным периодическим сигналом [13–15]. Несмотря на то, что математическая модель ФАП с пилообразной характеристикой фазового детектора описывается системой дифференциальных уравнений с разрывной правой частью, теория дифференциальных включений [16–19], используемая для строгого определения решений в точках разрыва правой части, редко применяется в инженерной литературе для описания таких моделей ФАП. Так, в работах [20–27] при анализе полосы захвата не обсуждаются описание векторного поля в точках разрыва и возможная неединственность решений.

Аналогичные проблемы возникают при анализе моделей схемы Костаса

с квадратурной фазовой манипуляцией, которая является модификацией схемы фазовой автоподстройки и используется в системах связи и управления для восстановления несущей сигналов и квадратурной фазовой манипуляции (QPSK) [28].

## 2. Основная часть

Поведение системы ФАП на рис. 1 с идеальным интегрирующим фильтром первого порядка описывается системой дифференциальных уравнений

$$(1) \quad \begin{aligned} \dot{x} &= v_e(\theta_e), \\ \dot{\theta}_e &= \omega_e^{\text{free}} - \frac{K_{\text{vco}}}{\tau_1} (x + \tau_2 v_e(\theta_e)), \end{aligned}$$

где  $x(t)$  – состояние фильтра,  $\theta_e(t)$  – расфазировка,  $v_e(\cdot)$  – характеристика фазового детектора,  $\tau_{1,2} > 0$  – параметры фильтра нижних частот,  $K_{\text{vco}} > 0$  – коэффициент усиления ПГ,  $\omega_e^{\text{free}}$  – разность входной частоты и свободной частоты ПГ.

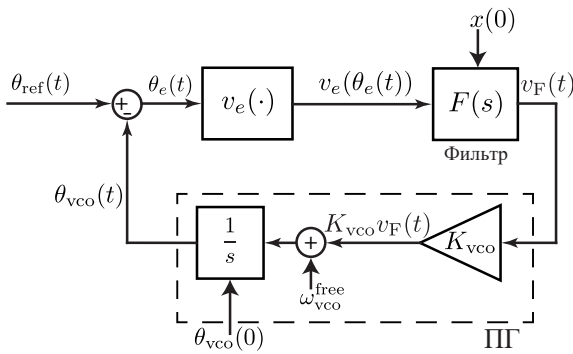


Рис. 1. Модель фазовой автоподстройки частоты в пространстве фаз сигналов

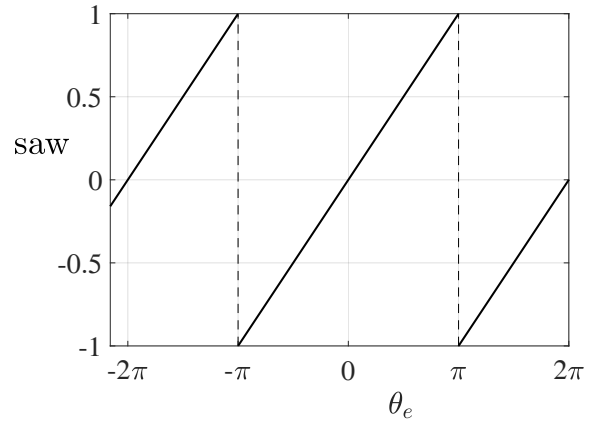


Рис. 2. Пилообразная характеристика фазового детектора

При рассмотрении пилообразной характеристики фазового детектора (см. рис. 2), правая часть уравнений (1) терпит разрыв в точках  $\theta_e = \pi m$ ,  $m \in \mathbb{Z}$ .

Также разрывная кусочно-гладкая характеристика фазового детектора возникает в усредненной модели схемы Костаса с квадратурной манипуляцией (QPSK) [28]. На рис. 3 представлена QPSK-схема Костаса в пространстве сигналов. Здесь  $\otimes$  – перемножитель,  $m_{1,2}(t)$  – сигналы данных,  $\sin(\theta_{1,2}(t)), \cos(\theta_{1,2}(t))$  – высокочастотные колебания с фазами  $\theta_1(t)$  и  $\theta_2(t)$ , ФНЧ1, ФНЧ2 и ФИЛЬТР – линейные фильтры нижних частот с начальными состояниями  $x_1(0)$ ,  $x_2(0)$  и  $x(0)$ , соответственно, соотношение между входом  $\xi(t)$  и выходом  $\sigma(t)$  ограничителя имеет вид  $\sigma(t) = \text{sign}(\xi(t))$ , вход  $\varphi(t)$  фильтра ФИЛЬТР имеет вид  $\text{sign}(g_1(t))g_2(t) - \text{sign}(g_2(t))g_1(t)$ , закон изменения частоты подстраиваемого генератора предполагается линейным, блок  $90^\circ$  задерживает фазу сигнала на  $\frac{\pi}{2}$ .

Впервые исследования радиофизических систем с разрывной правой частью проводились Железцовым Н.А. [29] до появления развитой математической теории

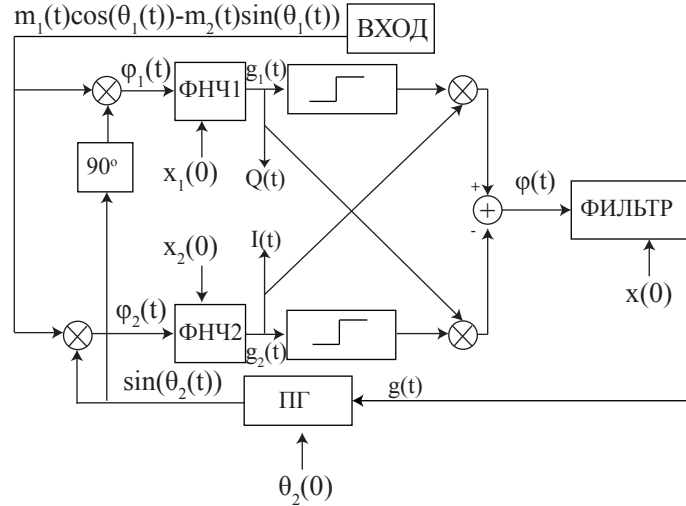


Рис. 3. QPSK-схема Костаса.

дифференциальных включений [16, 17]. Далее для определения решений разрывной системы (1) мы используем подход Филиппова [17] и рассматриваем решение как абсолютно-непрерывную вектор-функцию, удовлетворяющую дифференциальному включению

$$(2) \quad \begin{aligned} \dot{x} &\in \psi(\theta_e), \\ \dot{\theta}_e &\in \omega_e^{\text{free}} - \frac{K_{\text{vco}}}{\tau_1} (x + \tau_2 \psi(\theta_e)), \end{aligned}$$

где

$$(3) \quad \psi(\theta_e) = \begin{cases} \text{saw}(\theta_e), & \theta_e \neq \pi + 2\pi m, \\ [-1, 1], & \theta_e = \pi + 2\pi m. \end{cases}$$

Здесь  $\psi(\pi) = [-1, 1]$  соответствует минимальному ограниченному выпуклому множеству, такому что  $\lim_{\theta_e \rightarrow \pi-0} \text{saw}(\theta_e) \in \psi(\pi)$ ,  $\lim_{\theta_e \rightarrow \pi+0} \text{saw}(\theta_e) \in \psi(\pi)$ .

Из анализа дифференциального включения (2) следует существование отрезка скользящих режимов на периоде и неединственность траекторий с начальными данными на этих отрезках. Для доказательства глобальной устойчивости и бесконечности полосы захвата исследуемой модели ФАП рассмотрим непрерывную функцию Ляпунова в форме Лурье-Постникова:

$$(4) \quad V(x, \theta_e) = \frac{K_{\text{vco}}}{2\tau_1} \left( x - \frac{\tau_1 \omega_e^{\text{free}}}{K_{\text{vco}}} \right)^2 + \int_0^{\theta_e} \text{saw}(\sigma) d\sigma,$$

которая является периодической:  $V(x, \theta_e + 2\pi) = V(x, \theta_e) \quad \forall x \in \mathbb{R}, \forall \theta_e \in \mathbb{R}$ , а также удовлетворяет условию радиальной неограниченности по неперриодическим координатам:  $V(x, \theta_e) + \theta_e^2 \rightarrow +\infty$  при  $|x| + |\theta_e| \rightarrow +\infty$ . Вне поверхностей разрыва  $S_m = \{(x, \theta_e) \mid x \in \mathbb{R}, \theta_e = \pi + 2\pi m\}, m \in \mathbb{Z}$  функция  $V(x, \theta_e)$  гладкая и ее производные в силу системы (1) отрицательна:

$$\dot{V}(x, \theta_e) = -\frac{K_{\text{vco}} \tau_2}{\tau_1} (\text{saw}(\theta_e))^2 < 0, \quad \theta_e \neq \pi m, \quad m \in \mathbb{Z}.$$

Заметим, что из вида системы следует, что не существует временного интервала  $(t_1, t_2)$  такого, что  $\theta_e(t) \equiv 2\pi m$ ,  $m \in \mathbb{Z}$  при  $t \in (t_1, t_2)$ . Следовательно,  $V(x(t_1), \theta_e(t_1)) < V(x(t_2), \theta_e(t_2))$  при  $t_1 < t_2$ . На решениях скользящего режима, удовлетворяющих  $\dot{x} = \frac{1}{\tau_2} \left( \frac{\tau_1 \omega_e^{\text{free}}}{K_{\text{vco}}} - x \right)$ , функция  $V(x, \theta_e)$  имеет вид

$$V(x, \theta_e) = \frac{K_{\text{vco}}}{2\tau_1} \left( x - \frac{\tau_1 \omega_e^{\text{free}}}{K_{\text{vco}}} \right)^2 + \frac{\pi}{2}$$

и является невозрастающей. Следовательно, для любого решения включения (2) функция (4) является невозрастающей и  $V(x(t), \theta_e(t)) \equiv V(x(0), \theta_e(0))$  влечет  $(x(t), \theta_e(t)) \equiv (x(0), \theta_e(0))$ . Таким образом, функция (4) удовлетворяет теореме Леонова для анализа глобальной устойчивости периодических дифференциальных включений [30–32] и позволяет доказать бесконечность полосы захвата исследуемой модели ФАП для любых параметров  $K_{\text{vco}} > 0$ ,  $\tau_1 > 0$ ,  $\tau_2 > 0$ :

$$[0, \omega_p) = [0, +\infty).$$

Поскольку при ресинхронизации траектории системы (1) не попадают на отрезки скользящих режимов при любых частотах  $\omega_e^{\text{free}}$ , отличных от частоты быстрого захвата  $\omega_e^{\text{free}} = \omega_l$ , то проблема неединственности решений не влияет на определение полосы быстрого захвата.

### 3. Заключение

В данной работе были показаны возможности аналитических методов анализа систем дифференциальных уравнений с разрывной правой частью для решения проблем определения полос удержания, захвата и быстрого захвата в системе ФАП с пилообразной характеристикой фазового детектора.

Работа выполнена при финансовой поддержке Российского научного фонда (проект 22-11-00172).

### Список литературы

1. Kaplan E., Hegarty C. Understanding GPS/GNSS: Principles and Applications / 3rd edition. Artech House, 2017.
2. Aaltonen L., Halonen K. An analog drive loop for a capacitive MEMS gyroscope // Analog Integrated Circuits and Signal Processing. 2010. Vol. 63, No. 3. P. 465–476.
3. Kuznetsov N., Belyaev Y., Styazhkina A. et al. Estimation of PLL architecture on MEMS gyroscope performance // Gyroscopy and Navigation. 2022. Vol. 13, No. 1. P. 44–52.
4. Du K., Swamy M. Wireless Communication Systems: from RF subsystems to 4G enabling technologies. Cambridge University Press, 2010.
5. Roupheal T. Wireless Receiver Architectures and Design: Antennas, RF, Synthesizers, Mixed Signal, and Digital Signal Processing. Elsevier Science, 2014.
6. Best R., Kuznetsov N., Leonov G. et al. Tutorial on dynamic analysis of the Costas loop // IFAC-Papers OnLine. 2016. Vol. 42. P. 27–49.
7. Cho P. Optical Phase-Locked Loop Performance in Homodyne Detection Using Pulsed and CW LO // Optical Amplifiers and Their Applications/Coherent Optical Technologies and Applications. Optical Society of America, 2006. P. JWB24.
8. Ho K. Phase-Modulated Optical Communication Systems. Springer, 2005.

9. Helaluddin G. M. An improved optical Costas loop PSK receiver: simulation analysis // *Journal of Scientific & Industrial Research*. 2008. Vol. 67. P. 203–208.
10. Zhong Q.-C., Hornik T. Control of power inverters in renewable energy and smart grid integration. John Wiley & Sons, 2012. Vol. 97.
11. Karimi-Ghartemani M. Enhanced Phase-Locked Loop Structures for Power and Energy Applications. John Wiley & Sons, 2014.
12. Rosenkranz W., Schaefer S. Receiver design for optical inter-satellite links based on digital signal processing // *Transparent Optical Networks (ICTON)*. 2016 18th International Conference on / IEEE. 2016. P. 1–4.
13. Kuznetsov N., Lobachev M., Yuldashev M., Yuldashev R. The Egan problem on the pull-in range of type 2 PLLs // *IEEE Transactions on Circuits and Systems II: Express Briefs*. 2021. Vol. 68, No. 4. P. 1467–1471.
14. Kuznetsov N., Lobachev M., Mokaev T. Hidden boundary of global stability in a counterexample to the Kapranov conjecture on the pull-in range // *Doklady Mathematics*. 2023. Vol. 108, No. 4. P. 300–308.
15. Kuznetsov N., Lobachev M., Yuldashev M. et al. The Gardner problem on the lock-in range of second-order type 2 phase-locked loops // *IEEE Transactions on Automatic Control*. 2023.
16. Гелиг А., Леонов Г., Якубович В. Устойчивость нелинейных систем с неединственным состоянием равновесия. Наука, 1978. [English transl: *Stability of Stationary Sets in Control Systems with Discontinuous Nonlinearities*. World Scientific], 2004.
17. Филиппов А. Дифференциальные уравнения с разрывной правой частью. М.: Наука, 1985. 255 с.
18. Piironen P.T., Kuznetsov Y.A. An event-driven method to simulate Filippov systems with accurate computing of sliding motions // *ACM Transactions on Mathematical Software (TOMS)*. 2008. Vol. 34, No. 3. P. 13.
19. Leonov G., Kuznetsov N., Kiseleva M., Mokaev R. Global problems for differential inclusions. Kalman and Vyshnegradskii problems and Chua circuits // *Differential Equations*. 2017. Vol. 53, No. 13. P. 1671–1702.
20. Byrne C. Properties and design of the phase-controlled oscillator with a sawtooth comparator // *The Bell System Technical Journal*. 1962. Vol. 41, No. 2. P. 559–602.
21. Goldstein A. Analysis of the Phase-Controlled Loop with a Sawtooth Comparator // *Bell System Technical Journal*. 1962. Vol. 41, No. 2. P. 603–633.
22. Шахтарин Б. Исследование кусочно-линейной системы ФАП // *Радиотехника и электроника*. 1969. № 8. С. 1415–1424.
23. Сафонов В. О влиянии формы пилообразной характеристики фазового детектора на полосу захвата ФАП // *Радиотехника*. 1969. Т. 24, № 6. С. 76–80.
24. Белюстина Л., Быков В., Кивелева К., Шалфеев В. О величине полосы захвата системы ФАПЧ с пропорционально-интегрирующим фильтром // *Изв. вузов. Радиофизика*. 1970. Т. 13, № 4. С. 561–567.
25. Protonotarios E.N. Pull-in time in second-order phase-locked loops with a sawtooth comparator // *IEEE Transactions on Circuit Theory*. 1970. Vol. 17, No. 3. P. 372–378.
26. Harb V. Computing the pull-in range of second-order phase locked loops with tanlock and sawtooth phase detectors // *Proceedings of the 11th International Conference on Circuits, Systems, Electronics, Control & Signal Processing (CSECS'12)*. 2012. P. 27–32.
27. Harb V.A., Al-Ajlouni A., Eyadeh A. A Collocation-Based Algorithm for Analyzing Bifurcations in Phase Locked Loops with Tanlock and Sawtooth Phase Detectors // *Mathematical Problems in Engineering*. 2018. Vol. 2018. P. 1–7.
28. Kuznetsov N., Kuznetsova O., Leonov G. et al. A short survey on nonlinear models of QPSK Costas loop // *IFAC-PapersOnLine*. 2017. Vol. 50, no. 1. P. 6525–6533.
29. Железцов Н. Точечные преобразования и кусочно-линейные системы // *Теория колебаний (Андронов А., Витт А. Хайкин С.)*. М.: Физ. Мат. Лит., 1959. С. 504–649.
30. Леонов Г. Глобальная устойчивость двумерных систем управления угловой ориентацией // *Прикладная математика и механика*. 2000. Vol. 64, No. 5. P. 890–895.
31. Leonov G., Kuznetsov N. *Nonlinear Mathematical Models of Phase-Locked Loops. Stability and Oscillations*. Cambridge Scientific Publishers, 2014.
32. Kuznetsov N., Lobachev M., Yuldashev M., et al. The birth of the global stability theory and the theory of hidden oscillations // *2020 European Control Conference Proceedings*. 2020. P. 769–774.